

SnO₂ 透明電極特性에 미치는 Sb첨가의 영향

— 透明電極製作研究 —

(Effects of Sb doping on the Characteristis of SnO₂
Transparent Electrodes)

李 暉 漢*

(Lee, Chung Han)

要 約

鹽化第二錫을 출발물질로 하여豫熱을併用한 噴霧付着方式으로 유리薄板 위에 SnO₂透明電極을 형성시켜 그의 Sheet抵抗과 光透過率에 미치는 Sb添加量의 영향을 실험적으로 검토하였다.

Sheet抵抗을 電極작성시의 基板유리의 表面溫度가 높을수록 낮아지며 白色光에 대한 透過率을 Sheet抵抗과 더불어 증가되는데 最大 약 93[%]였다.

基板表面溫度는 700[°C] 부근이 적당하며 같은 表面溫度의 경우 출발물질에서의 Sb/Sn의 比率이 약 0.6[%]일 경우 最低의抵抗值得을 얻을 수 있었다.

Abstract

Transparent electrodes of polycrystalline tin-oxide films doped with antimony are prepared on the substrate of microscopic cover glass by modified spray method and from SnCl₄ Solution. Their electrical and optical properties are investigated in relation to the surface temperature of the substrate glass and to antimony concentration in the starting materials. The sheet-resistance of the film electrodes and transmittance for incandescent light depend on the antimony concentration and surface temperature of substrates at the time of making films. The transmittance increases with decrease of sheet resistance of the film. The optimum sheet-resistance was obtained in the case of the antimony concentration 0.6[%] approximately, and the max. transmittance was 93[%].

1. 序 論

透明電極은 각종 電氣光學的 電子素子에서 그 수요가 증가되고 있다. 可視光線에 대하여 高透過率을 나타내는 透明性電導膜은 일부 플라스틱을 基板으로 한 것도 있으나¹⁾ 유리薄板을 基板으로 삼아 Coating하는 것이 보통 작성 방법이다. Coating 방법으로서는 (1) 真空蒸着, (2) Sputtering, (3) C.L.D(Chemical Liquid Deposition), (4) 噴霧付着(Spray), (5) Dro-

plet Flash Vapor Deposition을 포함하는 CVD (Chemical Vapor Deposition) 등 많은 방식이 발표되고 있으며 각각 특색이 있다. 付着用물질로서는 金, 크롬등의 金屬薄膜의 경우를 제외하면 거의 다 金屬酸化物들이다. 이들중에서도 酸化錫(SnO₂)과 In₂O₃은 抵抗值이 낮고 光透過率이 커서 가장 많이 쓰인다.

보통 출발물질로서는 직접 酸化物 보다는 鹽化物등의 金屬鹽 또는 有機金屬化合物들을 사용하여 이들을 分解·酸化시킨다. 즉 酸化錫(SnO₂)의 경우는 보통 SnCl₄를 주체로 하는 水溶液을 가열된 基板위에 噴射付着하는 방법(예컨대 NESA膜의 경우와 같다), (CH₃)₂SnCl₂와 같은 有機金屬化合物을 출발물질로 하여 CVD 방법등을 쓰고 있다.

* 正會員 서울대학교 공과대학 전자공학과
(Dept. of Electronics Eng., College of Eng.,
Seoul Nat. Univ.)

接受日字: 1976年 6月 21日

In₂O₃의 경우는 In을 직접 O₂속에서 증착시키거나 또는 真空蒸着후 酸化시키는 것이 일반적인 방법이다. Sputtering에 의한 透明電導膜의 제작은 앞서의 化學的방법만큼 흔히 쓰이고 있지는 않다.

본연구에서는 化學的蒸着을 기초로한 噴霧付着방법에 의하여 SnCl₄를 출발물질로 한 SnO₂ 透明電導電極膜을 시작하여 그의 抵抗과 光透過性에 미치는 Sb添加量의 영향을 검토하고 아울러 출발물질의 分解·酸化反應時의 溫度가 이들 특성에 주는 효과를 실험적으로 조사하였다.

2. 電導機構

일반적으로 帶黃白色의 非晶質의 酸化錫은 電氣의 絶緣性을 나타내는데 반하여 그의 多結晶薄膜은 半電導性을 가지게 된다. 이와 같은 현상에 대한 연구결과는 이미 많은 발표가 있다. 즉 이 半電導性은 SnO₂膜의 Non-Stoichiometric 구조에서부터 이룩되어 酸素原子의 부족으로 인하여 n형 半導體를 형성한다. 이와 같은 Non-Stoichiometric 구조의 薄膜 물질에 不純物을 첨가하여 그의 電導度를 제어 할 수 있는데 보통 Sn와 原子半徑이 비슷한 Sb(n형의 경우) 또는 In(p형 半導體의 경우)을 첨가하여 Sn原子와 치환케 한다. H.A. McMaster에 의하면 SnO₂의 電導度 σ 는 常溫영역에서는

$$\sigma = A \exp[-E/kT]$$

의 모양으로 주어진다. 여기서 T는 溫度, A는 常數, E는 Activation Energy이다. k는 Boltzmann의 常數 E는 보통 0.01~0.04[eV]라고 한다.

Sb의 첨가는 SnO₂의 電導度를 변화시켜 주는데, R.E. Aitchison에 의하면 添加量이 약 6[%]에 이르기까지는 電導度는 증가되지만 그 이상에서는 電導度는 감소된다. 즉 最適 添加量이 있다. 武藤氏등에 의하면 Sb/Sn 0.07[%] 이상에서는 Ion不純物에 의한 散亂의 증가와 膜의 구조적변화로 말미암아 mobility는 감소되나 比抵抗은 0.4~1.2[%] 사이에서最低값을 나타냈다고 한다.²³ 일반적으로 Sb添加量에 대한 最適值는 시료의 제작과정에 따라 차이가 난다.

SnO₂膜의 特性은 膜이 형성될 때의 基板溫度(즉 Firing Temperature)에 크게 의존함은 여러 사람에 의하여 지적되고 있다. 鈴木氏등에 의하면 CVD에 의한 시료의 경우 CVD개시 때의 基板유리의 表面溫度가 높을수록 薄膜속의 電子密度는 감소되나 mobility는 증가됨을 보았다고 한다. 그 원인으로서 SnO₂結晶의 粒徑의 증대에 따르는 粒界散亂의 감소가 그의 일부일 것이라고 설명하고 있다.

3. 試料作成

蒸着裝置

시료작성에 사용한 噴霧付着裝置는 그림 1과 같다. 즉 加熱爐는 圓筒型으로서 上·下 두개부분으로 나누어져 있으며 上部爐는 1[KW], 下部爐는 2[KW]의 Ni-Cr線을 사용한 것이다. 爐內溫度는 热電對를 爐中央

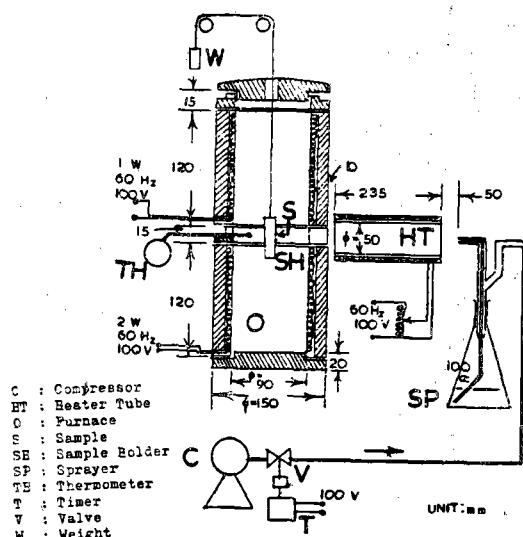


그림 1 噴霧付着裝置의 개요

Fig.1 Schematic diagram of the apparatus for modified spray method

부에 懸垂한 Sample-holder 배후에 설치하여 측정도록 하였다. 시료제작용 유리基板을 그림 2와 같은 크기의 sample holder에다 裝着하되 基板후면은 마이커

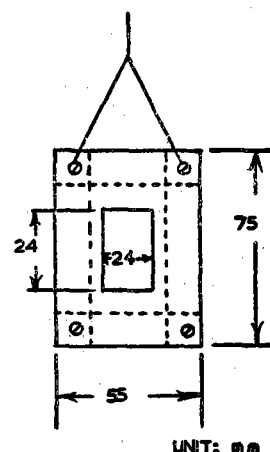


그림 2 시료用 基板를
Fig.2 Sample holder

板으로 막았다. 이 기판틀의 앞면은 개방되어 있어 그 끝을 통하여 噴霧付着用液이 기판에 닿도록 하였다. 이와 같은 기판틀을 加熱爐 中央部에 설치함으로써 기판의 端緣部의 冷却效果를 즐길 수 있다. 噴着用液은 噴霧器의 Nozzle을 통하여 분출시키되 爐內에 도입되기 전에 300[°C]~400[°C]로 가열된 豫熱管을 통하게 한다. 이리하여 차가운 噴着用液이 직접 爐內의 기판과 접촉하는 것을 방지하였다. 또 噴霧器 속의 噴着用液도 분사가 시작 되기 전에 60~70[°C]로 豫熱하여 앞서서의 것과 같은 효과를 평하였다. 爐內로 분출되는 用液의 量은 壓縮機로부터 공급되는 공기의 壓力과 壓縮機와 噴霧器사이에 삽입한 電磁式開閉器의 開閉時間은 Timer로 조절하여 제어하였다. 즉 이 開閉時間과 壓力을 일정하게 함으로써 분무되는 用液量을 조절하였다.

噴着用液

SnCl_4 를 출발물질로 하는 SnO_2 膜작성에 흔히 쓰이고 있는 처방은 다음과 같은 것들이다⁶⁾

(1) SnCl_4	2Vol.	$\text{SnCl}_4 \cdot 5\text{H}_2\text{O}$	100[g]
CH_3COOH	1Vol.	HCl	10[cc]
$\text{C}_2\text{H}_5\text{OH}$	1Vol.	H_2O	50[g]
		SbCl_3	0.1~15[g]
(3) $\text{SnCl}_4 \cdot 5\text{H}_2\text{O}$	89[%]		
HCHO	4[%]		
H_2O	6[%]		
SbCl_3	1[%]		

이들중에서 Ethylalcohol, 초산, 鹽酸등은 SnCl_4 등의 分解·酸化反應에 있어서의 moderator로 쓰이고 있는 것이다.

본연구에서는 噴着用液은 다음과 같이 작성하여 사용하였다. 즉 $\text{SnCl}_4 \cdot x\text{H}_2\text{O}$ 와 $\text{C}_2\text{H}_5\text{OH}$ (Ethylalcohol)를 각각 同量을 秤量하여 溶液 A를 만든 다음 $\text{SbCl}_3 \cdot \text{H}_2\text{O}$ 와 $\text{C}_2\text{H}_5\text{OH}$ 를 1:10의 比率로 秤量하여 溶液 B를 만든다. 이 A, B 두溶液을 각각 적당量씩 합쳐서混合液을 만들고 이混合液을 다시 $\text{C}_2\text{H}_5\text{OH}$ 에 적당히 稀釋하여 사용하였다. 이리하여 전체 solution의 Sb/Sn의 比率을 조절토록 하였다. 이 噴着用液작성에 사용한 주요 試藥들은 다음과 같다.

$\text{SnCl}_4 \cdot x\text{H}_2\text{O}$ 試藥 1級(日產)

$\text{SbCl}_3 \cdot \text{H}_2\text{O}$ 試藥 1級(Merk) 99%이상

$\text{C}_2\text{H}_5\text{OH}$ 試藥 1級(日產)

噴着工程

基板유리를 기판틀에 장착한 다음 加熱爐 中央位置에 헌추하고 爐의 温度를 소정의 温度까지 높이며 동시에豫熱管의 管內溫度를 300~350[°C]까지 상승 시킨다. 噴霧器에는 前項의 方법으로 작성한 用液을 30~

50[cc] 정도 넣는다. 壓縮機의 壓力과 Timer의 時間을 적절한 값으로 설정한 다음 開閉器를 열고 噴霧器로 송입되는 공기의 量을 조절하여 Nozzle로부터 분출되는 噴着用液의 量을 일정하게 유지 한다. Nozzle로부터 분출되는 噴着用液의 濃度의 平衡성을 유지하기 위하여 Nozzle로부터 분출이 시작된지 약 2~3秒가 경과된 후에 분출되는 用液을豫熱管으로 도입하여 加熱爐 속의 基板유리에 도달토록 한다. 爐로 도입된 噴着用液은 加熱된 基板유리 표면에서 分解·酸化되며 噴射이 완료되면 Timer에 의하여 開閉器는 닫혀져 噴射은 중지된다. 噴射가 중지된 후 약 5分간 爐의 温度를 그대로 유지하였다가 爐를 서서히 自然冷却시키고 그의 温度가 100[°C]이하로 되었을 때 기판틀을 爐로부터 꺼낸다. 이리하여 시료에 대한 燃燒效果를 이득할 수 있도록 한다.

基板用 유리로서는 顯微鏡用 cover glass slide(C A. Haussler & Son 社製 DSA 20-70-C-3162)를 사용하였으며 그 크기는 22×40×0.2[mm]이다. 작성된 SnO_2 電極의 크기는 22×24[mm]이다. 유리基板은 基板틀에 장착하기에 앞서 종류수로 충분히 세척 전조시킨 후 試藥 1級의 Acetone과 Trichloroethylene으로 차례로 세척 전조하여 사용하였다.

4. 測定方法

Sheet 抵抗

Sheet 抵抗 R_s 를 측정하기 위하여 矩形으로 형성된 유리基板위의 SnO_2 透明電極의 對向하는 兩邊에다 電導性塗料로 접촉단자를 만든 다음 Digital Multi-meter(TAKEDARIKEN Type 6335)의 $M\Omega$ - $K\Omega$ - Ω 눈금(最大分解能力 0.1[Ω])을 사용하여 抵抗 R 를 읽었다. $R_s = R \cdot (W/l)$ 로 부터 R_s 를 계산하였다. 여기서 W 는 SnO_2 電極膜의 幅이고 l 은 그의 길이이다. (W/l)은 대부분의 경우 1.16이였다.

光透過率

白色光에 대한 透過率을 구하기 위하여 그림 3과 같이 SnO_2 膜을 투과한 光量과 유리基板만을 투과한 光量을 휴대용 Luxmeter(YEW, Type 3281)의 300[Lux] 눈금을 사용하여 측정하였다. 이 Lux-meter 出力電壓를 다시 앞서의 Digital Multi-meter에 연결하여 mV 눈금(直流分解能力 100[μV])으로 Lux-meter의 出力を 읽었다. 이때 Lux-meter의 Reading L 와 Multi-meter의 Reading V 와의 사이에는 그림 4와 같은 관계가 있음을 확인하였다. SnO_2 膜의 光透過率측정에 있어서는 그의 不均一性을 검토키 위하여 그림 3에서 보는 바와 같이 지름 약 5.9[mm]인 圓形孔穴을 갖는

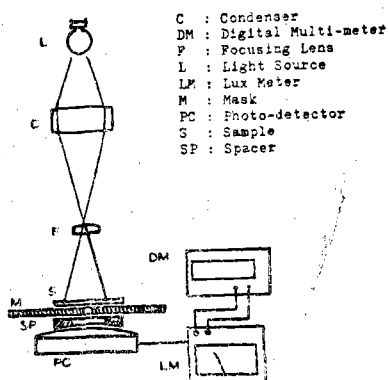
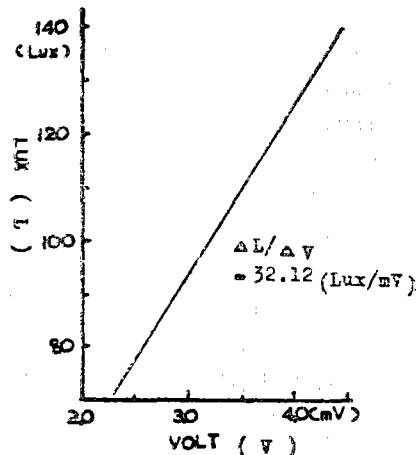


그림 3. 光透過率測定裝置

Fig.3 Tarnsmittance measuring system

Mask를 사용하여 SnO₂膜위의 5개소의 위치에서 SnO₂膜을 통과한 후 이 孔穴을 지나 Lux-meter에 도달하는 光量을 측정하였다. 이 측정값의 平均值로서 시료인 SnO₂膜에 대한 平均光透過量 L_{ave} 로 삼았다. 또 같은 유리基板위에서 SnO₂膜이 형성되어있지 않은 곳에서의 같은 Mask의 孔穴을 지나는 光透過量 L_0 을同一한 裝置로 측정하였다. L_{ave}/L_0 의 比를 계산하여 시료에 대한 光透過率로 삼았다. 그림 3에서 Lens와 시료사이의 거리는 약 35[mm]였다.

그림 4. L 와 V 의 관계Fig.4 The relationships between L and V

5. 測定結果

Sheet抵抗과 基板유리의 分解·酸化反應時의 溫度와의 관계는 그림 5와 같다. 즉 이 基板유리의 溫度의 증가와 더불어 Sheet抵抗은 감소됨을 알 수 있으며 Sb/Sn比率에는 관계없이 이와 같은 경향은 유지되고 있다.

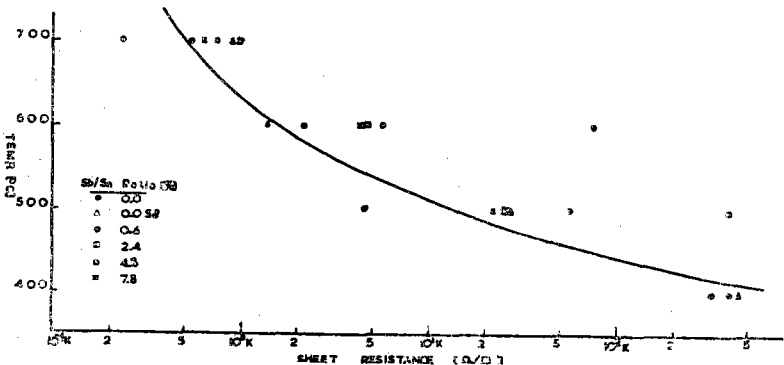


그림 5. Sheet抵抗과 基板溫度와의 관계

Fig.5 The relationships between sheet-resistance and firing temperature

그림 6은 Sheet抵抗과 Sb/Sn比率과의 관계를 보인 것이다. 그림에 표시한 溫度는 시료제작때의 基板溫度이다. 그림에서 보면 Sheet抵抗은 Sb/Sn의 比率이 약 0.6[%] 부근에서最低값을 나타내고 있다. 基板溫度가 400[°C]인 경우를 제외하고는 대체로 같은 경향을 나타내고 있다.

光透過率은 그림 7에서 보는 바와 같이 83[%] 이상이었다. 같은 基板유리위에 형성된 SnO₂膜에 대하여는 2[%]이하의 透過率의 偏差를 나타내었다.

光透過率과 Sheet抵抗과의 사이에는 그림 7에서 보는 바와 같이 光透過率이 매우 높을 경우 Sheet抵抗이 각별히 큰 것과 Sheet抵抗이 낮은 것이 나타났다.

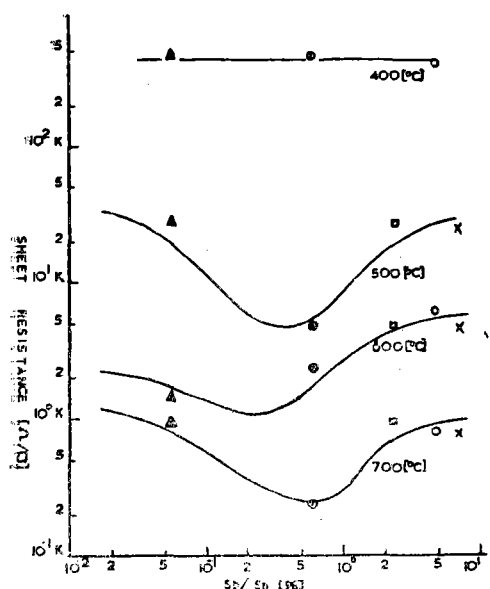


그림 6. Sheet 抵抗과 Sb/Sn比率과의 관계
Fig.6 The Relationships between sheet-resistance and Sb/Sn ratio.

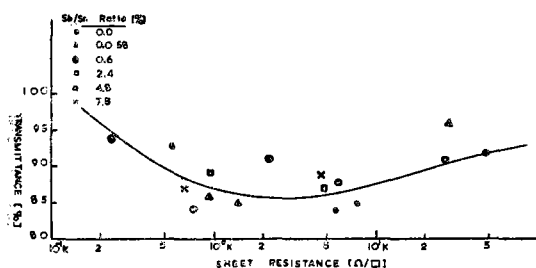


그림 7. 光透過率과 Sheet 抵抗과의 관계
Fig.7 The relationships between transmittance and sheet-resistance

6. 考 察

Sheet抵抗

噴霧付着方式은 그 장치와 조작이 간편하여 실용성이 크다. 이와 같은 방식에 의한 SnO_2 膜의 Sheet抵抗은 基板의 Fring temperature와 Sb의 添加量에 따라 크게 다르며(출발물질에서의) Sb/Sn 比率이 0.6 [%]가 될 때 가장 낮은抵抗值得 나타내고 있다.

SnO_2 膜을 형성시킬 때 基板溫度의 最低界限은 본연구의 경우와 같이 출발물질이 직접 酸化物이 아니고 鹽化物등과 같은 다른 형태의 것일 때는 그것이 충분히

높아야 한다. 또 이들이 分解·酸化된 후도 結晶화가 이루어지는데 충분한 時間과 温度가 유지되어야 할 것이다. 그림 6의 基板溫度가 400[°C]인 경우의 결과는 이상과 같은 分解·酸化 및 結晶화가 충분히 이루어지지 못한 경우라고 생각된다. 반면 基板의 最高溫度의 限界는 基板材料에 变화가 생기는 温度에 따를 것이다 특히 薄板유리 基板의 경우는 그의 軟化點 및 機械的變形을 일으키는 温度까지 높일 수는 없을 것이다. 실험과정에서 보면 500[°C]~800[°C] 범위에서는 基板溫度가 높을수록 SnO_2 膜의 抵抗值得 낮게 되었었다. 실제적으로는 700[°C]가 적절한 限界로 생각된다.

이상과 같이 熱分解와 酸化反應이 진행될 경우 특히 SnO_2 膜의 不均一性을 일으키며 抵抗을 크게 만드는 요인으로서는 化學反應에 따르는 基板의 冷却效果이외에 (1) 基板端緣部의 冷却效果, (2) 噴射時 空氣流通에 수반되는 冷却效果이다. 이상과 같은 效果는 基板들을 사용하고 또 噴射時 공기를 충분히豫熱함으로써 감소시킬 수 있다. 또 基板의 热容量과 分解·酸化에 참여하는 反應 물질의 量이 균형을 이루지 못하면 反應도중 結晶화를 이루지 못하고 예컨대 白色의 SnO_2 를 형성하게 된다. 따라서 反應물질과 더불어 加熱爐속에 송입되는 공기의 量은 SnO_2 膜 특성에 영향을 준다.

燒鈍效果는 본실험의 결과만으로는 그 자료가 충분치는 않으나 結晶의 粒徑을 증대하는데 기여할 것이 예측된다.

加熱爐의 温度가 높은고로 본실험에서와 같이 출발물질에서의 Sb/Sn比率이 적은때는 基板에 도달된 反應물질 속의 Sb/Sn 比率이 飛散 등으로 말미암아 상당히 다르게 될 가능성이 있다. 따라서 反應時의 温度가 薄膜의 Sb/Sn比率에도 영향을 줄 것이다.

常溫에서 본실험에서와 같은 噴着用液을 작성할 경우에는 Sb/Sn의 比率이 크면(예컨대 4[%]정도) 白色懸濁이 생기지만 이와 같은 것은 溶解度에 기인되는 것으로 用液을 40[°C] 정도로 유지하면 소멸된다. 따라서 用液의豫熱은 反應촉진에 유효한 것으로 여겨진다.

SnO_2 膜의 白色 光透過率이 Sheet抵抗이 큰 부분에서 증가되어 있는 것은 反應물질이 飛散되거나 기타의 원인으로 膜의 形成이 불완전하여 거의 基板자체의 光透過率를 나타낸 까닭도 있다. 한편 Sheet抵抗이 낮아짐에 따라 光透過率의 증가되는 것은 SnO_2 膜의 結晶화가 잘 이루어진 까닭으로 생각된다. Sputtering에 의한 $\text{SnO}_2\text{-In}_2\text{O}_3$ 膜의 경우는 Sheet抵抗이 10[Ω/m^2] 이하에서는 透光度가 80[%]이하로 크게 저하된다는 예가 있으나³⁾ 본연구에서는 이와같은 낮은 Sheet抵抗

의 영역까지 도달치 못하였다.

7. 結 論

豫熱을併用한 噴霧付着방법에 의한 SnO₂ 透明電極에서는 출발물질에서의 Sb/Sn 比率이 Sheet 抵抗에 크게 영향을 주는데 이比率이 0.6[%]부근에서 가장 낮은抵抗值를 얻을 수 있었다. 光透過率은 Sheet抵抗이 낮은 영역과 큰 영역에서 각각 증대되며 전체적으로 83[%]이상이었다. 대표적인 경우 光透過率 93[%]에서 Sheet抵抗 약 240[Ω/m^2]의 것을 얻을 수 있었다.

附 記

본연구는 1975년도 產學協同財團의 研究補助費에 의하여 이루어진 것임을 밝혀 同財團에 謝意를 표하는 바이다.

參 考 文 獻

1. 뉴우스, 電子通信學會誌, 日本, 第158卷, 第5號 p.463, 1975.
2. 武藤・古内, “化學蒸着法에 의한 SnO₂ 薄膜의 電氣的性質”, 應用物理, 第41卷, 第2號, p.134, 1972
3. 鈴木・小川 他, “In₂O₃-SnO₂ 透明電極의 Sputtering”, 應用物理, 第44卷, 第3號, p.247, 1975.
4. 鄭・朴, “酸化錫 金屬皮膜抵抗에 關한研究”, 電子工學會誌, 第4卷, 第1號, p.3, 1967
5. K. Ishiguro, et. al., “Optical and Electrical Properties of Tin Oxide Films”, Jour. Physic. Soci. of Japan., Vol.3, No.3, p.296, 1958
6. 神山・他, 薄膜工學 Handbook, 日本 1964, Ohm 社.
7. Harper, C.(Ed.);Handbook of Materials and Processes for Electronics, McGraw-Hill, 1970.